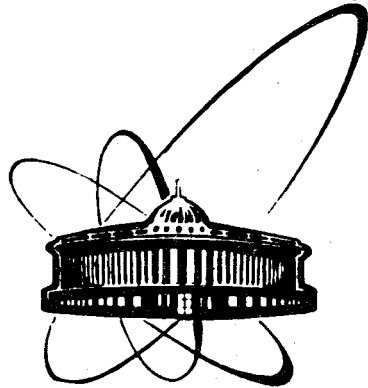


89-509

926085



ОБЪЕДИНЕННЫЙ
ИНСТИТУТ
ЯДЕРНЫХ
ИССЛЕДОВАНИЙ
ДУБНА

K 134

Р4-89-509

С.Г.Кадменский, С.Д.Кургалин, В.И.Фурман,
Ю.М.Чувильский

ОПТИЧЕСКИЕ ПОТЕНЦИАЛЫ СОСТАВНЫХ ЧАСТИЦ
И КЛАССИФИКАЦИЯ РАСПАДОВ
С ИСПУСКАНИЕМ ТЯЖЕЛЫХ КЛАСТЕРОВ

Направлено в журнал "Ядерная физика"

1989

I. Введение

Обнаружение и последующие измерения вероятности испускания ионов I^{14}C из 222-226 Ra , 24Ne из 232-234 U и 231 Pa , 28Mg из 234 U и 236 Pu , а также 32Si из 238 Pu / I-7 / вместе с интенсивными исследованиями других перспективных ядер ставят на повестку дня задачи теоретической интерпретации явления и прогнозирования результатов последующих измерений. Для этого важно надежно установить основные качественные закономерности процесса спонтанного распада с испусканием тяжелых кластеров. Поиск аналогий естественно вести, сравнивая новое явление с двумя другими известными видами радиоактивности с испусканием составных частиц: спонтанным делением и α -распадом.

Экспериментальные и теоретические исследования основных особенностей деления однозначно приводят к заключению о сильной перестройке ядра в процессе его раз渲ла на пару фрагментов сравнимой массы^{/8/}. Действительно, эксперимент показывает, что осколки деления i и j , выходящие с заметной вероятностью, имеют среднюю кинетическую энергию раз渲ла T_{ij} , которая намного меньше энергии кулоновского взаимодействия этих осколков в точке контакта $B_{ij}^{\text{свкл}}$, если считать, что они имеют равновесную форму. При этом величина Q_{ij} энерговыхода процесса оказывается достаточной, чтобы в некотором диапазоне значений деформации фрагментов β_i и β_j , больших либо равных их равновесных значений β_i^0 и β_j^0 , энергия кулоновского взаимодействия

$B_{ij}^{\text{свкл}}(\beta_i, \beta_j)$ удовлетворяла условию

$$Q_{ij} \geq B_{ij}^{\text{свкл}}(\beta_i, \beta_j) + \Delta E_i^{\text{def}}(\beta_i) + \Delta E_j^{\text{def}}(\beta_j),$$

где $\Delta E_{ij}^{\text{def}}(\beta_{ij}) = E_{ij}^{\text{def}}(\beta_{ij}) - E_{ij}^{\text{def}}(\beta_{ij}^0)$,

причем $E_{ij}^{\text{def}}(\beta_{ij})$ – энергия деформации фрагмента $i(j)$, соответствующая значению β_{ij} . Таким образом, для сильно вытянутых состояний осколков процесс их разлета оказывается неделимым и околобарьерным. В предельном случае холодного деления

$Q_{ij} \approx T_{ij} \approx B_{ij}^{\text{coupl}}(\beta_i^0, \beta_j^0)$, однако относительная вероятность такого деления мала. С теоретической точки зрения ядро имеет шанс разделиться на пару деформированных (в исключительных случаях – сферических) осколков, если перед разрывом оно оказывается сильно вытянутым (с параметром деформации, более чем вдвое превышающим равновесное значение). Стадия перехода в это состояние описывается на языке коллективных моделей с учетом оболочечных поправок при существенном использовании приближения адиабатичности деформации по отношению к одночастичному движению. Акт разрыва, который происходит неадиабатически, приводит, главным образом, к образованию сильно возбужденных фрагментов с энергиями возбуждения $E_{ij}^* \geq \Delta E_{ij}^{\text{def}}$.

Явление α -распада кардинально отличается от деления тем, что энерговыделение Q_α при развале родительского ядра A_i на α -частицу и дочернее ядро A_f всегда значительно меньше высоты кулоновского барьера $B_{\alpha A_f}^{\text{coupl}}$, и дочернее ядро образуется в основном или слабо возбужденном состоянии, т.е. имеет место подбарьерный неадиабатический процесс без существенной перестройки родительского ядра. Последнее свойство указывает на близость α -распада прямым ядерным реакциям с передачей или выбиванием кластеров, для которых приведенная вероятность определяется значением соответствующих оболочечных спектроскопических факторов.

При распаде ядер с испусканием тяжелых кластеров X ($X = {}^{14}\text{C}$, ${}^{24}\text{Ne}$, ${}^{28}\text{Mg}$, ${}^{32}\text{Si}$), как и при α -распаде, сохраняется соотношение $Q_X < B_{XA_f}^{\text{свр}}$, т.е. процесс оказывается глубокоподбарьерным.

Эксперимент / I-7 / показывает, что энергия вылетающих фрагментов $E_{X,A_f}^{\text{exp}} \propto Q_X A_f / A_i$, значит, дочерние ядра и кластеры оказываются практически невозбужденными. Оба эти аргумента указывают на то, что заметной перестройки родительского ядра в процессе распада не происходит, а X -распад, по всей видимости, является аналогом α -распада. Этот вывод не согласуется с гипотезой о механизме X -распада как сверхасимметричного деления, принятой в теоретических работах / 9 /. Заметим, однако, что с ростом массы A_X вылетающего кластера X значения соответствующего отношения $Q_X / B_{XA_f}^{\text{свр}}$ увеличиваются, так что в конечном итоге должен произойти переход к "делитльному" механизму.

В теории α -распада установлено, что структура родительского и дочернего ядер существенно влияет на вероятности α -переходов, определяя их классификацию. Для демонстрации этого влияния в теории α -распада вводится в рассмотрение поверхностная кластерная область родительского ядра A_i , в которой полностью сформированы фрагменты распада: α -частица и дочернее ядро. Оценки, проделанные в / 10 /, показывают, что для α -частиц в качестве внутренней границы кластерной области может быть использовано значение

$$R = R_{cl} = r_0 (A_f^{1/3} + A_\alpha^{1/3}),$$

где $r_0 = 1,20$ фм. Сказанное легко обобщается на случай распада родительского ядра с вылетом кластера X . При этом, например, в соотношении для R_{cl} $A_\alpha^{1/3}$ заменяется на $A_X^{1/3}$. По аналогии с α -распадом кластерный формфактор частицы X при от-

существии связи каналов удовлетворяет уравнению Шредингера:

$$[-\frac{\hbar^2}{2\mu_X} \frac{d^2}{dR^2} - \frac{\hbar^2 L(L+1)}{2\mu_X R^2} + V_{XA_f}^{coul}(R) + V_{XA_f}^{nuc}(R) - Q_X] \Phi_{xc}^{cl}(R) = 0 \quad (I)$$

с граничным условием

$$\Phi_{xc}^{cl}(R) \rightarrow \sqrt{\frac{\hbar \Gamma_{xc} k_{xc}}{Q_X}} G_c(R), \quad (2)$$

$$R \rightarrow R_1$$

где $G_c(R)$ — нерегулярная кулоновская функция, Γ_{xc} — ширина распада ядра A_i в канале c ($c \equiv J_f, \sigma_f, L$), $k_{xc} = \sqrt{2\mu_X Q_X}/\hbar$ и Q_X — волновой вектор и энергия относительного движения частицы X и дочернего ядра, μ_X — приведенная масса частицы X . Радиус R_1 в (2) соответствует точке, лежащей в подбарьерной области левее внешней кулоновской точки поворота, где выполняется условие $G_c(R_1) \gg F_c(R_1)$, причем $F_c(R_1)$ — регулярная кулоновская функция. Ядерный потенциал взаимодействия частицы X с дочерним ядром $V_{XA_f}^{nuc}(R)$ в (I) совпадает с действительной частью оптического потенциала частицы X . Интегрируя уравнение Шредингера (I) от точки R_1 вовнутрь, можно восстановить экспериментальный кластерный формфактор $\Phi_{xc}^{cl}(R)$ во всей кластерной области $R_{cl} \leq R \leq R_1$ и рассчитать кластерный спектроскопический фактор W_{xc}^{cl} частицы X :

$$W_{xc}^{cl} = \int_{R_{cl}}^{R_1} [\Phi_{xc}^{cl}(R)]^2 dR. \quad (3)$$

Величина W_{xc}^{cl} пропорциональна интегралу по кластерной области от приведенной ширины $\gamma_{xc}^2(R)$. В силу интегрального определения эта величина является более устойчивой к малым вариациям радиуса канала R_c , нежели $\gamma_{xc}^2(R)$, и может быть использована для классификации различного типа распадов с испусканием

частич X . Известно, что все α -переходы по величинам $W_{\alpha c}^{cl}$ можно разделить на четыре группы: облегченные, полуоблегченные, необлегченные и конфигурационно-запрещенные. Для облегченных α -переходов между основными состояниями четно-четных ядер значения $(W_{\alpha c}^{cl})_{J_c=J_p=0} = (W_{\alpha c}^{cl})_{чет. чет.}$ оказываются наибольшими и с их помощью можно ввести экспериментальные факторы запрета /II/ $F_{\alpha c}$, для всех остальных переходов:

$$F_{\alpha c'} = (W_{\alpha c}^{cl})_{чет. чет.} / W_{\alpha c'}^{cl}, \quad (4)$$

где в качестве эталонного $(W_{\alpha c}^{cl})_{чет. чет.}$ может браться фиксированный или усредненный по нескольким четно-четным переходам кластерный спектроскопический фактор /II/. Для других облегченных α -переходов $J_c = J_p \neq 0; L = 0$ значения $F_{\alpha c'}$ меняются от I до 3, для полуоблегченных - от 10 до 100, для необлегченных - от 100 до 1000 и для конфигурационно-запрещенных α -переходов $F_{\alpha c'} > 10^3$.

В отличие от α -распада, где потенциал ядерного взаимодействия α -частицы с дочерним ядром $V_{\alpha A_f}^{nuc}(R)$ из (I) хорошо исследован во всей кластерной области с помощью упругого рассеяния α -частиц, реакций (n, α) и многих других, проблема описания взаимодействия тяжелый ион - тяжелое ядро на расстояниях, близких к внутренней границе кластерной области, в настоящий момент далека от своего окончательного решения. В то же время вероятности глубокоподбарьерных процессов критически зависят от вида потенциала $V_{\alpha A_f}^{nuc}(R)$ во всей классически запрещенной области. Поэтому важно проанализировать феноменологические и теоретические методы построения потенциалов $V_{\alpha A_f}^{nuc}(R)$, отобрать потенциалы, применимые в исследуемой области взаимодействия тяжелый кластер - дочернее ядро.

Цель данной работы – провести анализ устойчивости к выбору потенциала $V_{X\alpha}^{\text{nuc}}(r)$ значений кластерных спектроскопических факторов, факторов запрета и тем самым возможности однозначной классификации распадов с испусканием тяжелых кластеров X . Итогом этого анализа является построение классификации всех экспериментально исследованных X -переходов.

2. Проблемы построения потенциалов кластер-ядро

В современной литературе можно найти многочисленные и весьма разнообразные версии феноменологических потенциалов $V_{X\alpha}^{\text{nuc}}(R)$, описывающих упругое рассеяние, сечения реакций и других неупругих процессов при взаимодействии составных частиц с ядрами. Отмеченное разнообразие является следствием известных дискретной и непрерывной неоднозначностей извлечения параметров феноменологических потенциалов в обратной задаче рассеяния. Первая из них возникает, когда близкое по качеству описание дают потенциалы, отличающиеся числом связанных состояний, вторая – когда данные описываются потенциалами из одного дискретного класса, отличающимися набором параметров (например, неопределенности типа глубокий-узкий или мелкий-широкий). Ситуация усугубляется, если исследуется канал с сильным поглощением. Существенно влияют на результаты решения обратной задачи и экспериментальные ошибки.

Тем не менее неоднозначности в потенциалах взаимодействия α , T , ^{3}He и ∞ -частиц с ядрами могут быть устранины при прецизионном исследовании рассеяния соответствующих частиц достаточно высокой энергии в широком диапазоне углов / 12 /. Не менее информативно в этом смысле и радиужное рассеяние / 13 /. Ограничения на параметры потенциалов взаимодействия ∞ -частиц с тяжелыми ядрами получаются из анализа подбарьерной (n,α) -реакции / 10 /.

Для ядер-мишеней, на которых исследования были проведены одним из указанных выше способов, свойства потенциалов оказались единообразными.

При подгонке на классе L -независимых потенциалов, во-первых, глубина действительной части любого из них составляет $\approx 50 m_X/m_N$ МэВ, т.е. все они относятся к разряду "глубоких". Во-вторых, число связанных состояний в таких потенциалах не меньше числа запрещенных состояний кластера в родительском ядре, т.е. указанные потенциалы не противоречат обобщенной теореме Левинсона (см. ниже).

Подгонка экспериментальных сечений L -зависимыми потенциалами не приводит в исследованных случаях к существенному улучшению описания, несмотря на значительное увеличение числа параметров, кроме того, теряется однозначность их выбора. Это свидетельствует в пользу варианта с L -независимым потенциалом.

При переходе к более тяжелым ядрам-мишеням из-за экспоненциального спадания сечения рассеяния в области малых энергий и больших углов получить набор данных, достаточный для устраниния неоднозначностей, оказывается затруднительным. Для кластеров с массой $m_X > 4$ не наблюдаются экспериментально и (n, X) -процессы. Имеющиеся в литературе версии феноменологических потенциалов $V^{nuc}(R)$ взаимодействия ядер с массой $A \approx 208$ с "легкими" тяжелыми ионами $^{12-14}C$, ^{16}O и т.п. нацелены на описание упругого рассеяния и некоторых реакций.

Почти все феноменологические потенциалы имеют глубину V_0 порядка нескольких десятков МэВ, т.е. относятся к классу "мелких", не содержащих ни одного связанного состояния. Для фиксированной пары, несмотря на заметные внешние различия, они дают довольно близкие значения положения и высоты барьеров. В то же время уже

в кластерной области ход потенциальных кривых начинает серьезно отличаться. Пример такого поведения для потенциалов $^{18}\text{O} + ^{208}\text{Pb}$ показан на рисунке. Из-за сильного поглощения в этой области рассчитанные с различными потенциалами $V^{\text{nuc}}(R)$ сечения упругого рассеяния в широком диапазоне энергий оказываются одинаковыми. Для описания глубокоподбарьерных процессов данный класс потенциалов не подходит, так как, во-первых, не имеет связанных состояний (не удовлетворяет обобщенной теореме Левинсона) и, во-вторых, его левый склон выбирается практически произвольно, в то время как зависимость от формы этого склона величины W_{xc}^{el} , пропорциональной проницаемости барьера, очень сильная.

Что касается потенциалов, используемых для описания около-барьерного слияния тяжелых ионов, то они являются эффективными потенциалами, моделирующими сильную связь каналов, характерную для данного процесса, и, таким образом, не имеют прямого отношения к рассматриваемым нами потенциалам $V^{\text{nuc}}(R)$, ориентированным на описание одного, упругого, канала.

Вследствие сказанного при построении модели взаимодействия мы вынуждены пользоваться определенными теоретическими схемами.

Наиболее подробную и точную информацию о кластерных каналах /14/ дает единая теория ядра (ЕТЯ). Исходным пунктом схемы является использование микроскопического A -тельного гамильтонiana. Решение ищется в виде A_i -нуклонной волновой функции, которая содержит в себе функции одного или нескольких каналов кластеризации и поляризационные члены. Последние обычно – оболочечные функции основного и наиболее низких возбужденных состояний системы A_i :

$$\Psi_{A_i} = \sum_c \hat{A}_i \{ \psi_{A_i}^c \psi_x^c \phi^c(R) \} + \sum_k \Psi_{A_i}^k. \quad (5)$$

На полном базисе решение (5) является точным. Волновые функции двухтельной системы получаются проектированием решения (5) в нужный кластерный канал C_o :

$$\phi_{x_{C_o}}(R) = \langle \psi_{A_i} / U_{x_{C_o}} \rangle. \quad (6)$$

Формфактор (6) хорошо описывается как в кластерной области (за счет явного включения канала C_o в ψ_{A_i}), так и в оболочечной области (за счет поляризационных членов). При достаточном базисе с помощью (5) и (6) можно описать и промежуточную (между кластерной и оболочечной) область.

В то же время аппарат единой теории весьма сложен и реальные расчеты оказались возможными лишь для легких систем типа $(\alpha + \alpha, \alpha + \tau \text{ и т.п.}) / ^{14}$. Существует единственный и дающий неполную картину расчет чрезвычайно важной системы $\alpha + ^{208}\text{Pb} / ^{15}$. Очень широко представлены в литературе работы, сделанные в рамках одноканального и многоканального метода резонирующих групп (МРГ)-приближения единой теории, где в пробной функции (5) пре-небрегают поляризационными членами. Как и в единой теории, технические трудности ограничивают возможности метода небольшим числом каналов и не слишком большими массами A_f и X . Автоматам известны исследования систем $\alpha + ^{40}\text{Ca} / ^{16}$, $^{16}_0 + ^{16}_0 / ^{17}$, и, в некотором приближении, $^{16}_0 + ^{40}\text{Ca} / ^{18}$. Необходимо заметить, что пренебрежение поляризационными членами для тяжелых систем является достаточно грубым: МРГ хорошо работает для легких систем $\alpha + \alpha$, $\tau + ^3\text{He}$ и т.д. и систем, где кластеризация в канале C достаточно хорошо выражена (например $\alpha + ^{16}\text{O}$). В остальных случаях МРГ может претендовать, скорее, лишь на описание формфактора в кластерной области.

Расчеты в рамках ЕТА и МРГ наглядно демонстрируют, что в общем случае многообразие свойств системы двух составных частиц нельзя сколько-нибудь точно описать в двухтельном формализме. Формфактор (6) в принципе не является собственной функцией какого-либо двухтельного гамильтониана, а в одноканельном МРГ-приближении он особым образом нормирован и с точностью до нормировки совпадает с решением уравнения Шредингера с нелокальным оператором $V''^{xc} \ell(R, R')$ весьма сложного вида. В этом смысле попытки свести задачу взаимодействия двух составных частиц к двухтельной с каким-либо привычным локальным потенциалом приводят к результатам с ограниченной областью применимости. Наиболее последовательная схема построения эквивалентного локального потенциала (ЭЛП)-метод ортогональных условий (МОУ). Она предложена Сaito /¹⁹/ . В уравнении МРГ

$$\int [T(R, R') + V(R, R') + EK(R, R')] \phi(R') dR' = E\phi(R), \quad (?)$$

где

$$\hat{A} = 1 + \sum_P (-1)^P \hat{\rho}^P \quad (8)$$

оператор антисимметризации, $\hat{\rho}$ — оператор перестановки,

$$T(R, R') = \langle \psi_{A_f}^- \psi_x \delta(R'' - R) / \sum_i T_i / \hat{A} \{ \psi_{A_f}^- \psi_x \delta(R'' - R') \} \rangle, \quad (9)$$

$$V(R, R') = \langle \psi_{A_f}^- \psi_x \delta(R'' - R) / \sum_{ij} V_{ij} / \hat{A} \{ \psi_{A_f}^- \psi_x \delta(R'' - R') \} \rangle, \quad (10)$$

$$K(R, R') = 1 - \langle \psi_{A_f}^- \psi_x \delta(R'' - R) / \hat{A} \{ \psi_{A_f}^- \psi_x \delta(R'' - R') \} \rangle, \quad (II)$$

искомая функция $\phi(R)$ разлагается по собственным функциям ин-

тегрального ядра $K(R, R')$

$$\phi(R) = \sum_{n=0}^{\infty} \langle \phi(R) / \phi_n(R) \rangle \phi_n(R), \quad (I2)$$

где $\phi_n(R)$ удовлетворяют уравнению

$$\int K(R, R') \phi_n(R') dR' = \lambda_n \phi_n(R). \quad (I3)$$

Если спектр собственных значений λ_n имеет простой вид

$$\lambda_n = \begin{cases} 1 & n \leq n^0 \\ 0 & n > n^0 \end{cases} \quad (I4)$$

(реализуются только запрещенные или разрешенные состояния), то для состояний с $\lambda_n = 1$ уравнение (I3) эквивалентно условию

$$/\hat{A}/ \{ \psi_{Af} \psi_x \phi_n(R) \} = 0, \quad (I5)$$

т.е. при переходе от A_i -частичного уравнения к двухтельному возникает неоднозначность, связанная с тем, что в первое из них можно подставлять функции (I5) с произвольным весом. В МОУ эта неоднозначность устраняется ортогонализацией $\phi(R)$ к запрещенным состояниям:

$$\langle \phi(R) / \phi_n(R) \rangle = 0 \quad \text{для } n \leq n^0. \quad (I6)$$

Тогда, имея в виду условие (I4), третий член уравнения (7) оказывается равным нулю. Дополнительное приближение работы / I9 / - пренебрежение обменными (связанными с нетривиальными перестановками из (8)) матричными элементами операторов (9) и (10) сводило соотношение (7) к уравнению

$$(T^D + V^D - E) \phi(R) = 0, \quad (I7)$$

где T^D и $V^D(R)$ - "прямые" кинетический и потенциальный

члены, являющиеся, очевидно, локальными в случае, если V_{ij} не содержит обменных членов. Выражение для потенциала

$$V^D(R) \equiv \langle \Psi_{Af} \Psi_X / \sum_{ij} V_{ij} / \Psi_{Af} \Psi_X \rangle \quad (18)$$

при этом оказалось полностью аналогичным широко используемому в исследованиях тяжелых ядер выражению для фолдинг-потенциала. Таким образом, процедура построения таких потенциалов получила микроскопическое обоснование.

Более точные (учитывающие обменные члены) исследования /20/ систем легких кластеров $\alpha+\alpha$, $\alpha+T$, $\alpha+d$ и т.п., для которых приближенно выполняются условия (14), показали, что МОУ дает очень хорошее описание фаз рассеяния и связанных состояний в широком диапазоне моментов L и энергий E этих систем. Эквивалентный локальный потенциал $V^{nuc}(R)$ для этих систем, построенный методами работ /20/, моделирующий сумму $V^D(R)$ и нелокальных обменных членов кинетической энергии и потенциальной энергии ядерного взаимодействия, оказался: 1) L - независимым, 2) E - независимым, 3) глубоким ($\approx 50 m_N/m_\Lambda$ (МэВ)) притягивающим потенциалом, обменная часть которого обладает свойствами 1,2 и усиливает притяжение в $V^{nuc}(R) \sim$ в 1,5 раза по сравнению с $V^D(R)$. 4) Фазы $\delta_L(E)$ потенциального рассеяния в нем удовлетворяют обобщенной теореме Левинсона

$$\delta_L(0) = n_0(L)\pi, \quad (19)$$

где $n_0(L)$ соответствует числу связанных состояний с моментом L в потенциале $V^{nuc}(R)$.

Исследование более тяжелых пар ионов затрудняется наличием в спектре ядра интегрального уравнения (13) большого набора полу запрещенных состояний $0 \leq \lambda_n < 1$. Методы построения эквива-

лентных локальных потенциалов в этом случае развиты в цикле работ Хориучи с сотрудниками (см. напр. /21/). Исследованы системы $I_{\alpha}^{16} + \alpha$, $^{40}Ca + \alpha$, $I_{\alpha}^{16} + I_{\alpha}^{16}$ и т.п. Отмеченные выше свойства потенциалов в этих системах сохраняются. Исключение составляет свойство 2 - появляется плавная зависимость обменных матричных элементов от энергии - с ростом E они по модулю уменьшаются.

Для двух систем ($I_{\alpha}^{16} + \alpha$ и $^{40}Ca + \alpha$), исследованных группой Хориучи, эмпирические данные в широком угловом диапазоне позволили одновременно получить и феноменологические потенциалы. Совпадение результатов при различных энергиях оказалось хорошим /22/, особенно, если слегка варьировать затравочный NN -потенциал V_{ij} . Количественные исследования потенциалов $V_{\overline{q}}^{nuc}(R)$ для еще более тяжелых ядер-мишеней на достаточно высоком теоретическом уровне в настоящее время не проведены из-за большого объема вычислений. Однако, с точки зрения теоретической, качественные свойства взаимодействия интересующих нас пар кластер-ядро практически ничем не отличаются от исследованных. Некоторое экспериментальное подтверждение этому - сохранение свойств потенциала α -частица-ядро при переходе от легких ядер к тяжелым.

В итоге для взаимодействия кластер - тяжелое ядро в области глубокоподбарьерных энергий единственной оправданной и реализуемой возможностью остается использование фолдинг-потенциалов разных типов - как двойных, получающихся чаще всего преобразованием выражения (18) к формулам, содержащим плотности пространственных распределений сталкивающихся ядер:

$$V_{\overline{q}}^{nuc}(R) = \int \rho_{A\beta}(\vec{r}_1) \rho_X(\vec{r}_2) V_{NN}(R + \vec{r}_1 - \vec{r}_2) d^3r_1 d^3r_2, \quad (20).$$

так и одинарных, при получении которых производится свертка оптического потенциала нуклон-ядро с плотностью пространственного распределения кластера:

$$V_I^{\text{nuc}\ell}(R) = \int \rho_X(\vec{r}) V_{NA\ell}(R + \vec{r}) d^3r. \quad (21)$$

Глубина фолдинг-потенциала существенно зависит от вида затравочного V_{NN} (для двойного) или $V_{NA\ell}$ (для одинарного) взаимодействия и может варьироваться, при исследовании тяжелых ядер, на десятки процентов. Масштаб этих вариаций, видимо, примерно такой же, как и масштаб обменной части потенциала. Поскольку при этом экспериментальные данные не дают возможности выделить определенный тип затравочного взаимодействия, можно сказать, что фолдинг-потенциалы воспроизводят потенциалы с учетом обменных членов с некоторой (хотя, возможно, и недостаточной) точностью. К тому же часть обменного взаимодействия в затравочных оптических потенциалах N -ядра содержится. Схема, претендующая на введение поправок, учитывающих обменные эффекты в двойной фолдинг-процедуре, предложена в работе /23/. Заметим, однако, что в интересующей нас кластерной области роль обменных компонент взаимодействия уменьшается.

В заключение раздела укажем, что выше мы обсуждали лишь существенно неадиабатические потенциалы взаимодействия составных частиц, волновые функции которых $\psi_{A\ell}$ и ψ_X фиксированы как своими квантовыми числами, так и параметрами, характеризующими их размер и форму. Существует другой класс потенциалов, которые строятся по следующей схеме. Для фиксированного расстояния между центрами масс фрагментов R в каких-либо предположениях – диабатических или эдиабатических – вычисляется полная энергия системы, которая и объявляется потенциалом. Этот способ описания взаимо-

действия также используется при исследовании X -распада /9/. В асимптотической области, несколько правее максимума барьера, эти потенциалы совпадают с фолдинг-потенциалами /24/. Во внутренней области за точкой контакта переменная R теряет смысл координаты относительного движения и становится параметрической переменной. Уравнение, описывающее систему в этой области, не относится, вообще говоря, к шредингеровскому типу, а является уравнением Хилла-Уиллера /25/. Поэтому, хорошо описывая асимптотическую область, данный подход не дает возможности установить связь внешней области с внутренней (оболочечной) областью ядра. Именно это вынудило авторов работ /9/ использовать чисто феноменологические способы описания взаимодействия левее точки контакта. В наиболее интересной для нашего исследования области левого склона барьера подходы такого типа дают, за счет включения в потенциал кинетической энергии относительного движения фрагментов, заметно более пологое убывание, что приводит к серьезному занижению проницаемости барьера. Это убывание затем переходит в отталкивание во внутренней области, так что потенциал зачастую не содержит квазисвязанных состояний. Кроме того, взаимодействие фрагментов в области их перекрывания при использовании потенциала плотности энергии и его упрощенной версии проксимити-потенциала /26/ описывается недостаточно корректно, если в качестве функционала плотности-энергии используется статическая, не зависящая от кинетической энергии налетающего кластера форма $E(\rho_{nucle})$, отвечающая адабатической гипотезе для относительного движения дочернего ядра и кластера. В силу сказанного использование потенциалов последнего типа представляется неоправданным.

Таблица I

Кластерные спектроскопические факторы w_{xc}^{cl} для различных потенциалов $v_{xA_f}^{\text{nucl}}$

Распад $A_i \rightarrow X + A_f$	$w_{xc}^{(1)}$	$w_{xc}^{(2)}$	$w_{xc}^{(3)}$	$w_{xc}^{(4)}$	$w_{xc}^{(5)}$	$w_{xc}^{(6)}$	$w_{xc}^{(7)}$	$w_{xc}^{(8)}$	$\Gamma_{\text{ЭКС}},$ МэВ	Лит- ра
222Ra $\rightarrow ^{14}\text{C} + ^{208}\text{Pb}$	2,9(-10)	1,6(-8)	3,7(-8)	1,8(-6)	6,0(-6)	1,6(-6)	2,2(-6)	1,7(-9)	4,35(-33)	/2/
223Ra $\rightarrow ^{14}\text{C} + ^{209}\text{Pb}$	3,1(-12)	1,8(-10)	4,0(-10)	2,2(-8)	7,1(-8)	1,9(-8)	2,7(-8)	1,5(-11)	2,89(-37)	/I;2/
224Ra $\rightarrow ^{14}\text{C} + ^{210}\text{Pb}$	2,2(-10)	1,5(-8)	3,0(-8)	1,9(-6)	6,3(-6)	1,5(-6)	2,3(-6)	8,9(-10)	5,75(-38)	/2/
226Ra $\rightarrow ^{14}\text{C} + ^{212}\text{Pb}$	0,82(-10)	6,6(-9)	1,2(-8)	9,2(-7)	3,2(-6)	7,2(-7)	1,1(-6)	2,2(-10)	2,13(-43)	/2/
230Th $\rightarrow ^{24}\text{Ne} + ^{206}\text{Hg}$	2,2(-18)	1,2(-15)	3,2(-15)	2,0(-12)	1,3(-11)	1,3(-12)	2,4(-12)	2,7(-17)	1,04(-46)	/2/
231Pa $\rightarrow ^{24}\text{Ne} + ^{207}\text{Tl}$	1,1(-19)	5,4(-17)	1,5(-16)	9,8(-14)	6,7(-13)	6,7(-14)	1,2(-13)	1,1(-18)	2,68(-45)	/3/
232U $\rightarrow ^{24}\text{Ne} + ^{208}\text{Pb}$	7,1(-19)	3,3(-16)	9,6(-16)	6,1(-13)	4,2(-12)	4,3(-13)	7,8(-13)	7,1(-18)	3,97(-43)	/4/
233U $\rightarrow ^{24}\text{Ne} + ^{209}\text{Pb}$	4,5(-20)	2,5(-17)	6,7(-17)	5,9(-14)	3,9(-13)	3,8(-14)	7,1(-14)	5,7(-19)	6,90(-47)	/5/
234U $\rightarrow ^{24}\text{Ne} + ^{210}\text{Pb}$	7,8(-18)	5,1(-15)	1,2(-14)	1,3(-11)	8,8(-11)	8,3(-12)	1,5(-11)	7,4(-17)	3,90(-47)	/6/
234U $\rightarrow ^{28}\text{Mg} + ^{206}\text{Hg}$	6,1(-22)	7,0(-19)	2,1(-18)	2,8(-15)	2,5(-14)	1,9(-15)	3,5(-15)	1,9(-20)	1,29(-47)	/6/
236Pu $\rightarrow ^{28}\text{Mg} + ^{208}\text{Pb}$	2,0(-22)	1,9(-19)	6,7(-19)	9,4(-16)	8,1(-15)	6,1(-16)	1,2(-15)	7,2(-21)	5,07(-44)	/7/

Символ $(-n)$ означает фактор 10^{-n} .

3. Результаты расчетов и обсуждение

Процедура вычисления кластерных спектроскопических факторов W_{xc}^{cl} базировалась на решении уравнения (I), в котором в качестве потенциала $V_{XAf}^{nuc\ell}(R)$ использовался одинарный или двойной фолдинг-потенциал. Нуклонная плотность кластера в выражениях (20) и (21) бралась из работы /27/ и дочернего ядра – из /28/. В варианте одинарного фолдинга использовались затравочные V_{NAf} потенциалы из работ: 1 – /29/, 2 – /30/, 3 – /31/, для фолдинга двойного V_{NN} – потенциалы из работ: 4 – /23/, 5 – /32/, 6 – /32/, 7 – /33/. Кроме того, использовался также глубокий феноменологический потенциал – 8 – из /34/. В тех случаях, когда феноменологическая форма потенциального барьера для пары $X + Af$ была известна, проводилось сравнение с формой барьера для фолдинг-потенциала. Во всех таких случаях различия оказались не слишком большими и не принимались во внимание, поскольку сами феноменологические оптические потенциалы изучались при довольно высоких (по сравнению с распадом) энергиях, а вклад обменных членов, эффективно учитывающий в этих потенциалах, зависит от энергии.

В табл. I для различных пар X и Af приведены значения W_{xc}^{cl} , рассчитанные с указанными выше потенциалами. Обращают на себя внимание большие вариации величин W_{xc}^{cl} для фиксированного канала C в зависимости от выбора потенциала. Для $X = ^{14}C$ они достигают четырех, для ^{24}Ne – семи, а для ^{28}Mg – восьми порядков. На три порядка могут отличаться результаты расчетов в потенциалах 3 и 8, для которых различия в форме барьеров много меньше характерных ошибок извлечения их параметров из данных по рассеянию. Возникает серьезная проблема, которой, практически, не

было в процессах с α -частицами, где для различных фолдинг-потенциалов величины W_{xc}^{cl} меняются всего в 5-6 раз / 10 /, что близко к неопределенностям вычисления абсолютных ширин α -распада. К тому же использование данных по $(n\alpha)$ -реакции позволяет сузить масштаб указанных вариаций почти вдвое.

Необходимо отметить, что размах вариаций величин W_{xc}^{cl} в исследуемых случаях X -распада примерно такой же, как при использовании чисто кулоновского потенциала с обрезанием для взаимодействия кластер-ядро, если менять радиус обрезания $\approx 15\%$. При отказе от принципов отбора потенциалов $V_{XAf}^{nuc}(R)$, принятых выше, вариации величин W_{xc}^{cl} возрастают еще на несколько порядков. Например, барьер для проксимити-потенциала / 26 / оказывается выше, чем для всех исследованных потенциалов из табл. I. Таким образом, для любых теоретических схем существуют серьезные неопределенностии при рассмотрении абсолютных вероятностей кластерного распада. С этой точки зрения полезно изучить ситуацию с факторами запрета / II /. В табл. 2 приведены значения

F_{xc} , рассчитанные по формуле (4) с теми же потенциалами, что и в табл. I. В качестве $(W_{xc}^{cl})_{чет. чет.}$ использовалось значение, усредненное по соседним ядрам. Видно, что в отличие от величин

значения факторов запрета устойчивы относительно выбора потенциала $V_{XAf}^{nuc}(R)$. По всей видимости, такая устойчивость сохранится и для более широкого класса потенциалов.

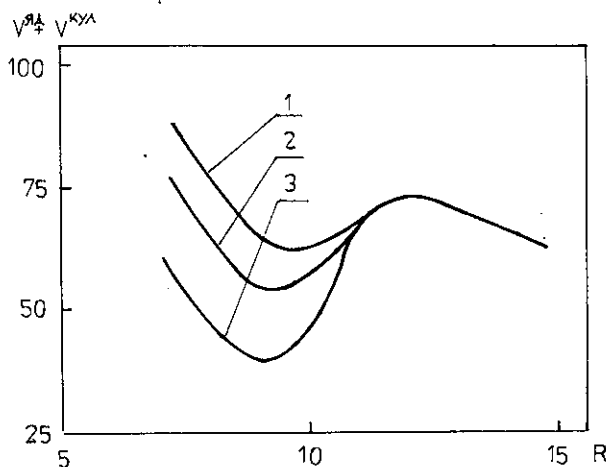
Для всех изученных экспериментально случаев распада нечетного ядра наблюдается устойчивое достоверное подавление вероятности распада по отношению к вероятности распада четно-четного. Этот факт был впервые установлен в работах / 35, 36 /.

Конкретные значения фактора запрета F_{xc} , как видно из табл. 2, находятся в пределах I3-II6. Аналогичным масштабом

Таблица 2

Факторы запрета F_{xc}

$A_i \rightarrow X + A_f$	(1)	(2)	(3)	(4)	(5)	(6)	(7)	(8)	$\langle F_{xc} \rangle$
$^{223}\text{Ra} \rightarrow ^{14}\text{C} + ^{209}\text{Pb}$	82	86	84	84	87	82	83	87	84,3
$^{231}\text{Pa} \rightarrow ^{24}\text{Ne} + ^{207}\text{Tl}$	I3	I4	I4	I3	I3	I3	I3	I5	I3,5
$^{233}\text{U} \rightarrow ^{24}\text{Ne} + ^{209}\text{Pb}$	94	II0	97	II5	II6	II2	III	7I	I03,5



Форма потенциального барьера для различных феноменологических оптических потенциалов взаимодействия ядер ^{18}O и ^{208}Pb с параметрами вещественной части : 1 - $V_0 = 40$ МэВ, $R_0 = 10,7$ фм, $\alpha = 0,61$ фм, 2 - $V_0 = 56$ МэВ, $R_0 = 10,25$ фм, $\alpha = 0,68$ фм, 3 - $V_0 = 72$ МэВ, $R_0 = 10,25$ фм, $\alpha = 0,63$ фм.

факторов запрета 5:200 характеризуются полуоблегченные α -переходы в ядрах. Как в α -, так и в X -распаде факторы запрета описывают относительное уменьшение вероятности переходов между уровнями нечетных (родительского и дочернего) ядер, различающи-

мися по спину (во всех изученных случаях χ -распада, как и в α -распаде испускается частица со спином 0). Такое единство свойств α - и χ -распада служит экспериментальным доказательством единой природы этих явлений, подтверждает важную роль структурных эффектов в χ -распаде. Воспроизвести подобные факты запрета в моделях типа / 9 /, где теория χ -распада строится по аналогии с теорией деления, трудно. Хотя теория деления также воспроизводит четно-нечетные эффекты в делительных ширинках, причина этого — различие высоты барьеров деления в четных и нечетных ядрах, которое возникает для чисто адиабатических потенциалов взаимодействия. Оно совершенно не характерно для диабатических и существенно неадиабатических потенциалов $V_{XA\ell}^{nuc}(R)$, которыми описывается χ -распад. Дополнительное экспериментальное подтверждение единой природы α - и χ -распада можно было бы получить, измерив облегченный χ -переход между состояниями нечетных ядер.

В заключение отметим еще один важный факт, доказывающий наличие эффектов, связанных как со структурой вылетающего кластера, так и со структурой состояний родительского и дочернего ядер. Из анализа табл. I видно, что, несмотря на обсуждавшиеся выше неопределенности, значения кластерных спектроскопических факторов частиц значительно меньше величин $W_{\alpha c}^{\ell} \simeq 10^{-2} / 10 /$ и падают приблизительно на 7 порядков при переходе от $x=^{14}\text{C}$ к $x=^{24}\text{Ne}$ и еще на 3 порядка в случае ^{28}Mg .

Авторы благодарят Ю.С.Земятнина, О.А.Князькова, В.Г.Неудачина, В.М.Шилова за ценные обсуждения.

Л И Т Е Р А Т У Р А

1. Rose H.J., Jones G.A. // Nature. 1984. V.307. P.245;
Александров Д.С. и др. // Письма в ЖЭТФ. 1984. Т.40. С.152;
Galeev S. et al. // Phys.Rev.Lett. 1984. V.54. P.759.

2. Price F.B. et al. // Phys.Rev.Lett. 1985. V.54. P.297.
3. Săndulescu A. et al. // JINR Rapid Comm. N. 5-85, Dubna,1985, p.5.
4. Третьякова С.П. и др. З3 Краткие сообщения ОИИИ. №7-85, Дубна, 1985, с.23.
- Barwick S.W. et al. // Phys.Rev. 1985. V.C31. P.1984.
5. Wang S. et al. // Phys.Rev.Rapid.Comm. 1987. V. C36. P.2717;
- Tretyakova S.P. et al. // JINR Preprint. 1988. E7-88-863. Dubna.
6. Оглоблин А.А. и др./Краткие сообщения ОИИИ. №2(35)-89, Дубна,1989, с.II.
7. Price F.B., Annual Rev of Nucl. and Part.Sci., V.39(1989). P.314.
8. Бор О., Моттельсон Б.//Структура атомного ядра.1971. М.Мир.
9. Сэндулеску А., Пoenaru D.N., Грайнер В.//ЭЧАЯ.1980.Т.II.С.II34. Poenaru D.N. et al. // J.Phys. 1984. V.G10. P.L184.
- Shi Y.-J., Shi Y.-J., Swiatetcki W.J. // Phys.Rev.Lett. 1985. V.54. P.300.
- Пик-Пичак Г.А.// ЯФ. 1986. Т.44. С.1421.
- Рубчена В.А. и др.// Изв.АН СССР. Сер.физ. 1986. Т.50.С.1016.
10. Кадменский С.Г., Фурман В.И.// Альфа-распад и родственные ядерные реакции. 1985. М. Энергоатомиздат.
11. Вахтель В.М. и др. // ЭЧАЯ. 1987. Т.I8. С.777; Kadmensky S.G. // Z.Phys. 1983. V. A312. P.113.
12. Goldberg D.A., Smith S.M. // Phys.Rev.Lett. 1972. V.29. P.500.
13. Goldberg D.A. // Phys.Lett. 1975. V. B55. P.59.
14. Вильдермут К., Тан Я. Единая теория ядра. 1980. М. Мир.
15. Stenmayer T., Sunkel W., Wildermuth K. // Phys.Lett. 1983. V. B52. P. 437.
16. Friedrich H.,Langankek P. // Nucl.Phys.1975. V. A252. P.47. -
17. Ando T., Ikeda K., Tohsaki-Suzuki A. //Progr.Theor.Phys. 1979. V.61. P.101.

18. Baye P., Salmon Y. // Nucl.Phys. 1979. V. A331. P.254.
19. Saito S. //Prog.Theor.Phys. 1969. V.41. P.705.
20. Куклин В.И., Неудачин В.Г., Смирнов Ю.Ф.//ЭЧАЯ.1979.Т.10.С.1236.
21. Wada T., Horiuchi H. // Prog.Theor.Phys. 1986. V.75. P.754.
22. Wada T., Horiuchi H. // Phys.Rev.Lett. 1987. V.58. P.2190.
23. Князьков О.М. // ЭЧАЯ, 1986, Т.17, С.318.
24. Baltz A.J., Bayman B.F. // Phys.Rev. 1982. V. C26. P.1969.
25. Hill D.L., Wheeler J.A. //Phys.Rev. 1953. V.89. P.1102.
26. Blocki J. et al. //Ann.Phys. 1977. V.105. P.427.
27. Perey C.M., Perey R.J.// Atom.data and Nucl.Data Table, 1976. V.17. P.1.
28. Баррет Р., Джексон Д./Размеры и структура ядер, 1981, Киев, Наукова думка.
29. Гареев Ф.А. и др. // Изв. АН СССР. сер.Физ. 1968. Т.32.С.1690.
30. Becchetti F., Greenless G.W. //Phys.Rev. 1969. V.182. P.1190.
31. Satchler G.R., Love W.G. // Phys.Rev. 1979. V.55. P.183;
Rickertsen L.D., Satchler G.R. //Phys.Lett. 1977. V. B66.P.9.
32. Knyas'kov O.M., Hefter E.F. // Z.fur Phys., 1981. V.A301.
P.277.
33. Satchler G.R. //Nucl.Phys. 1979. V. A329. P.233.
34. Christensen P.R., Winter A. //Phys.Lett. 1976. V. B65. P.19.
35. Кадменский С.Г., Фурман В.И., Чувильский Ю.М./Сообщение
ОНИИ. Р4-85-368, Дубна, 1985.
36. Shi Y.J., Swiatecki W.J. //Nucl.Phys. 1985. V. A438. P.450.

Рукопись поступила в издательский отдел
4 июля 1989 года.